

福井大学大学院 学生員 小嶋 啓介
 福井大学工学部 正会員 荒井 克彦
 福井大学大学院 学生員 田行 啓一
 京都大学工学部 正会員 太田 秀樹

1. まえがき：室内土質試験や現位置試験によって、工事着手前に物性定数を正しく推定する方法には限界があるので、工事施工を進めながら、地盤や構造物の変位や応力を観測し、そのデータから逆に地盤物性定数を推定する観測施工（現場計測工法）が広く行なわれつつある。著者らは先に、地盤を弾性体とした場合に、変位の観測値から物性定数を推定する手法を提案した¹⁾。しかし、実際の地盤では、変形が圧密現象に支配される場合が少くないので、ここでは多次元圧密が生じる弾性地盤を対象として、FEMと数理計画法に基づいて、地盤物性定数を合理的に推定する方法を検討する。

2. 問題の定式化：多次元圧密の数値解析手法として、安定性、計算効率などからみて優れている、Christian系の赤井・田村の手法を用いる。式(1)

$$[K \ C] \{ \Delta U \} = \{ \Delta F \}_{t+at} - (1) \quad \text{ここで, } K: \text{要素剛性マトリックス}, C: \text{要素内の間隙水圧を節点力に変換するベクトル}, W: \text{要素内の間隙水圧}, \Delta U: \text{節点変位の増分}, \Delta P: \text{要素間の移動を表すマトリックス}$$

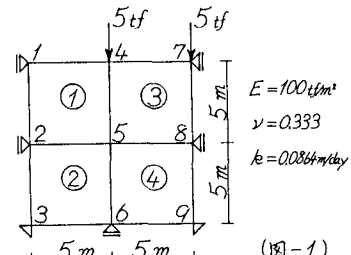
の増分。 ΔF : 節点荷重の増分ベクトルである。推定すべき物性定数は、弾性係数E、ポアソン比ν、及び透水係数kである。(とりあえず透水係数は等方的であるとしておく) そこで問題を次のように定式化する。

$$J = \sum_{i=1}^{Nt} \sum_{j=1}^N (\Delta U_{ij} - \Delta U_{ij})^2 + \sum_{i=1}^{Nt} (\Delta P_{ik} - \Delta P_{ik})^2 \rightarrow \text{minimum} \quad (2) \quad \text{ここで, } \Delta U_{ij}: \text{時刻 } i \text{ 節点 } j \text{ での観測変位増分}, \Delta U_{ij}: \text{時刻 } i \text{ 節点 } j \text{ での計算変位増分}, \Delta P_{ik}: \text{時刻 } i \text{ 要素 } k \text{ での観測間隙水圧増分}, \Delta P_{ik}: \text{時刻 } i \text{ 要素 } k \text{ での計算間隙水圧増分}, N_t: \text{観測時刻の個数}, N: \text{変位の観測点数}, M: \text{間隙水圧の観測点数} \text{ である。上式 } J \text{ を最小とするように, } E, \nu, k \text{ を決定すれば, 最も妥当な物性定数が得られるはずである。式(2)は高次の非線形性のために, 解析的には解けないので, 数理計画法の共役勾配法による収束計算を行う}^2)$$

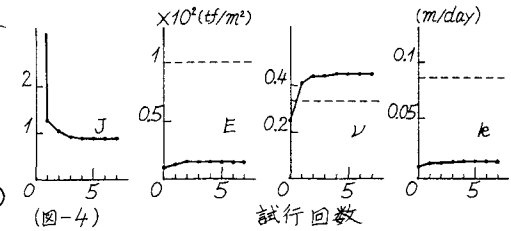
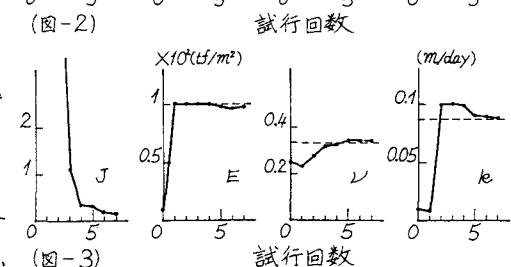
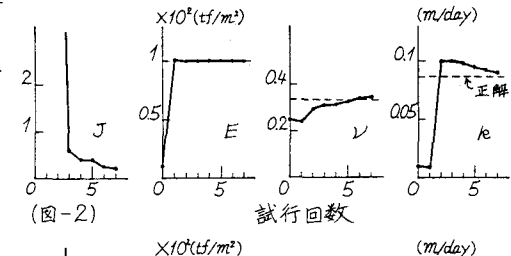
収束計算に必要な勾配は次式で与えられる。

$$\frac{\partial J}{\partial k} = 2 \sum_{i=1}^{Nt} (\Delta U_{ij} - \Delta U_{ij}) (-1) \frac{\partial \Delta U_{ij}}{\partial k} + 2 \sum_{i=1}^{Nt} (\Delta P_{ik} - \Delta P_{ik}) (-1) \frac{\partial \Delta P_{ik}}{\partial k} \quad (3) \quad \frac{\partial \Delta U_{ij}}{\partial k} = (E, \nu, k) \quad \text{上式で, } \frac{\partial \Delta U_{ij}}{\partial k}, \frac{\partial \Delta P_{ik}}{\partial k} \text{ は次のように表わされる。} \quad \frac{\partial \{ \Delta U \}}{\partial k} = \left[\frac{\partial [K \ C]}{\partial k} \{ \Delta F \}_{t+at} \right] + \left[K \ C \right] \frac{\partial \{ \Delta F \}_{t+at}}{\partial k} \quad (5)$$

3. 適用例（平面ひずみ状態）：以下の例では、ある仮定した物性定数を用いて、FEMによる圧密計算を行い、得られた計算値を観測値としたモデルを考える。このモデルについて、本報の手法で物性定数を推定し、仮定した値と比較して、本報の手法の妥当性を検討する。モデル1：図-1に示す4要素モデル（排水端は上面のみ）とし、観測時刻は瞬時載荷後1日、5日、9日、17日、25日とする。（例1）観測変位： $\Delta U_1, \Delta U_4, \Delta U_9, \Delta U_{17}, \Delta U_{25}$ （Dは



(図-1)



水平、△は鉛直方向変位を表わす)観測間隙水圧： ΔP_1 , ΔP_3 を与えた場合。 \rightarrow 図-2。(例2)例1と同じ変位だけを与えた場合。 \rightarrow 図-3。(例3)例1と同じ間隙水圧だけを与えた場合。 \rightarrow 図-4。モデル2:図-5に示す20要素モデル。(排水端土上面)

のみ)で、観測時刻は瞬時載荷後、10日、20日、30日とする。(例4)

観測変位： ΔV_1 , ΔV_2 , ΔV_3 , ΔV_4 , ΔU_{16} , ΔU_{18} ,
 ΔU_{19} , ΔU_{17} , ΔU_{18} , ΔU_{19} , ΔV_{19} , ΔU_{21} , ΔV_{21} ,
観測間隙水圧： ΔP_1 , ΔP_3 , ΔP_2 , ΔP_3 を与えた場合。 \rightarrow 図-6。(例5)例4と同じ間隙水圧だけを与えた場合。

\rightarrow 図-7。(例6)観測変位： ΔV_1 ,

ΔU_{16} , ΔV_{18} , ΔU_{21} , ΔV_{21} だけを与えた場合。 \rightarrow 図-8。(例7)

例4と同じで、透水係数に異方性をとりいれた場合。 \rightarrow 図-9。(例8)例4と同じで、2層地盤とした場合。 \rightarrow 図-10。

4.あとがき:例1～8の結果から、一応以下のようなことがいえる。(1)均一地盤で透水性に異方性を考えない

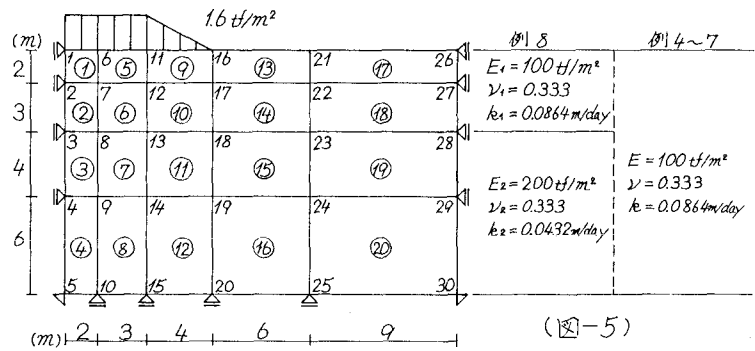
ときには、観測変位を与えるかぎり、良好な推定値が得られる。(2)観測間隙水圧だけを与えたときには、物性定数の推定が困難である。(3)透水係数に異方性を考えた場合には、E, Jは推定できるが、たと一義的に決定することが困難である。(4)多層地盤の場合には、一層地盤に比べて推定の精度が悪くなる。(5)観測点は多いほど収束が速い。以上のようなことに注意すれば、本報の手法を実際問題に適用できる見通しが得られた。今後は、時間ステップ幅を導入して、並行計算を省略するなどして計算量を短縮し、また適用範囲を広げて、実際問題への応用を検討する方針である。なお数值解析には、

京都大学、名古屋大学大型計算機センタ

ーを利用した。参考文献: 1)荒井・大田安井(1983)土質工学会論文報告集, Vol. 23-1, PP. 107～113.

2)プロセスシステム、高松編、日刊工業(1972), 3)赤井・田村(1974)土構会論文報告集,

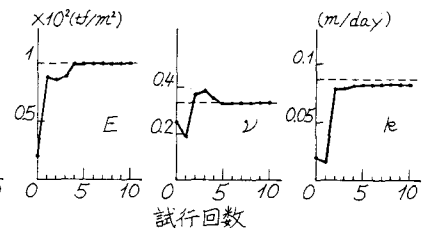
No.269



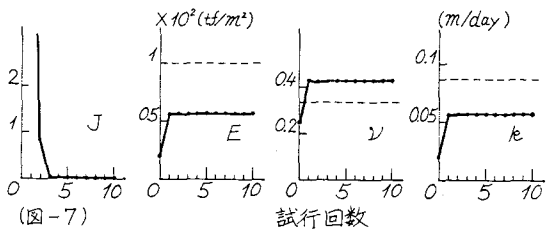
(図-5)

(m) 2 3 4 6 9

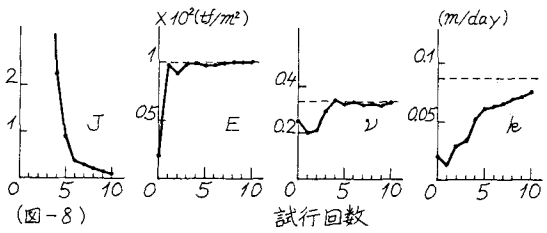
例4～7



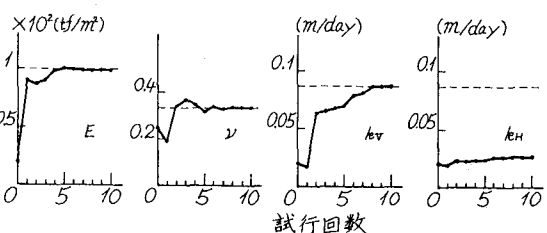
(図-6)



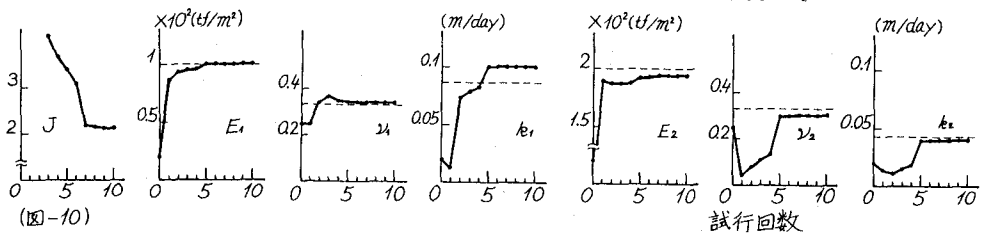
(図-7)



(図-8)



(図-9)



(図-10)